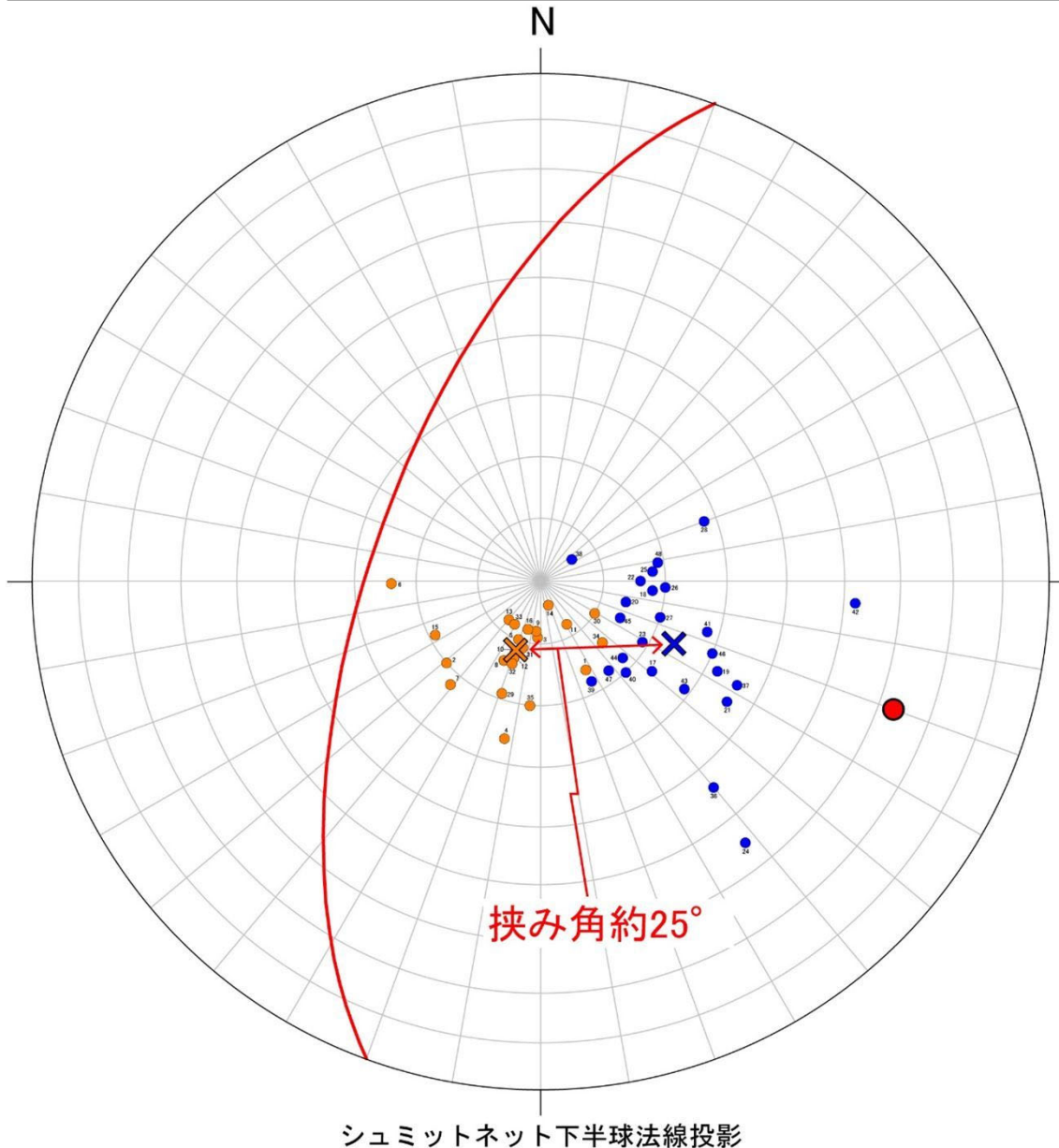


## 2.3.1 活動性評価(北西法面) K断層による地層の変形範囲の把握 (北西法面e層における地層の走向・傾斜)

- 「K断層による影響を受けたと判断した地層」のグループは主として北東傾斜であり、「K断層による影響を受けていないと判断した地層」のグループは主として北西傾斜である。
- 2つのグループの最大中心点の傾斜は20°程度の差を有しており、概ね南北方向を軸として西側が上昇する方向に回転している状況が認められ、概ね南北方向の走向を持つK断層が西側隆起の逆断層センスであることと調和的である。

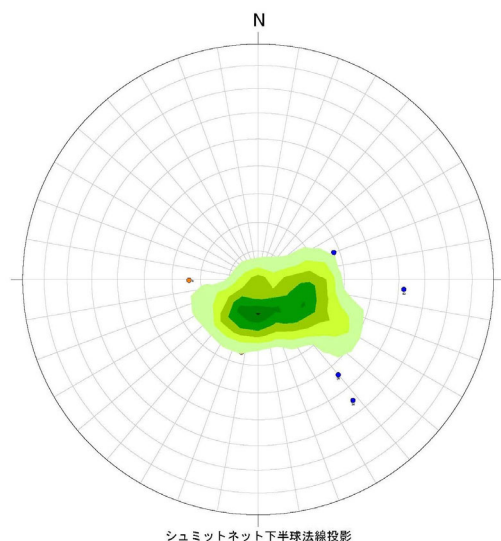
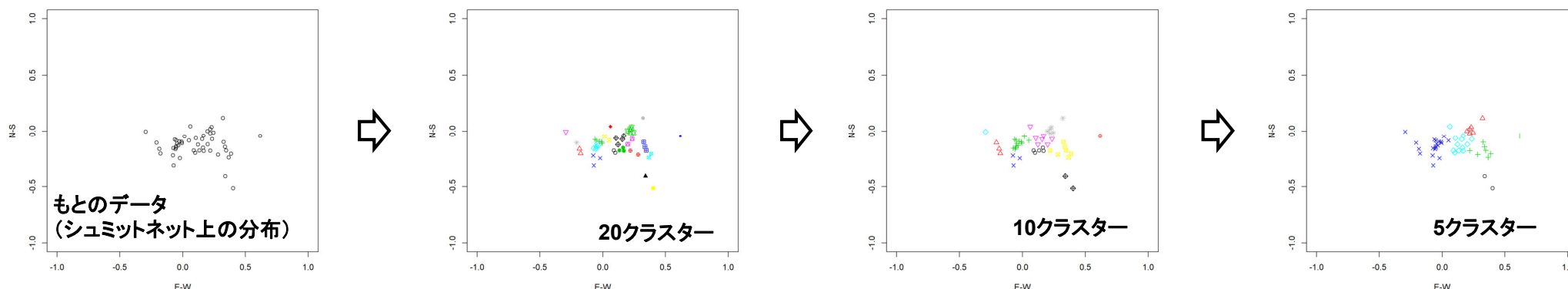
第1202回審査会合  
資料1-1 再掲



- 凡例
- 北西法面におけるK断層の走向・傾斜 (N20° E63° W)
  - K断層による影響を受けたと判断した地層
  - × K断層による影響を受けたと判断した地層 (平均値 : N70° W12° N)
  - K断層による影響を受けていないと判断した地層
  - × K断層による影響を受けていないと判断した地層 (平均値 : N25° E24° W)

## 2.3.1 活動性評価(北西法面) K断層による地層の変形範囲の把握 (クラスター分析結果)

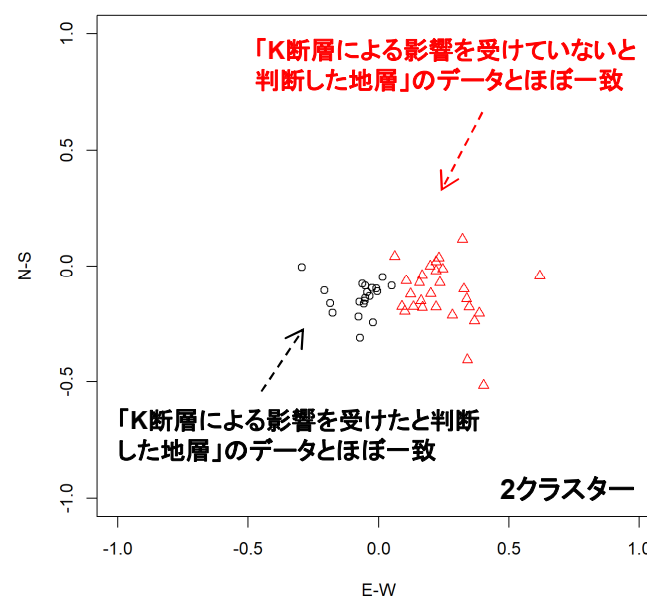
- 「K断層による影響を受けたと判断した地層」と「K断層による影響を受けていないと判断した地層」のグループに大別することの妥当性を確認するため、クラスター分析において広く用いられているワード法に基づき検討した。
- その結果、最終クラスター数を2つとした場合、それぞれのクラスターが「K断層による影響を受けたと判断した地層」と「K断層による影響を受けていないと判断した地層」と一致し、法面観察に基づき類似したものを適切にグループ化していることを表していることから、K断層によって影響を受けたe層の範囲と受けていないe層の範囲を適切に把握出来ているものと判断した。



シュミットネット下半球法線投影

凡例  
北西法面③層 e層の走向・傾斜

コンターダイアグラム

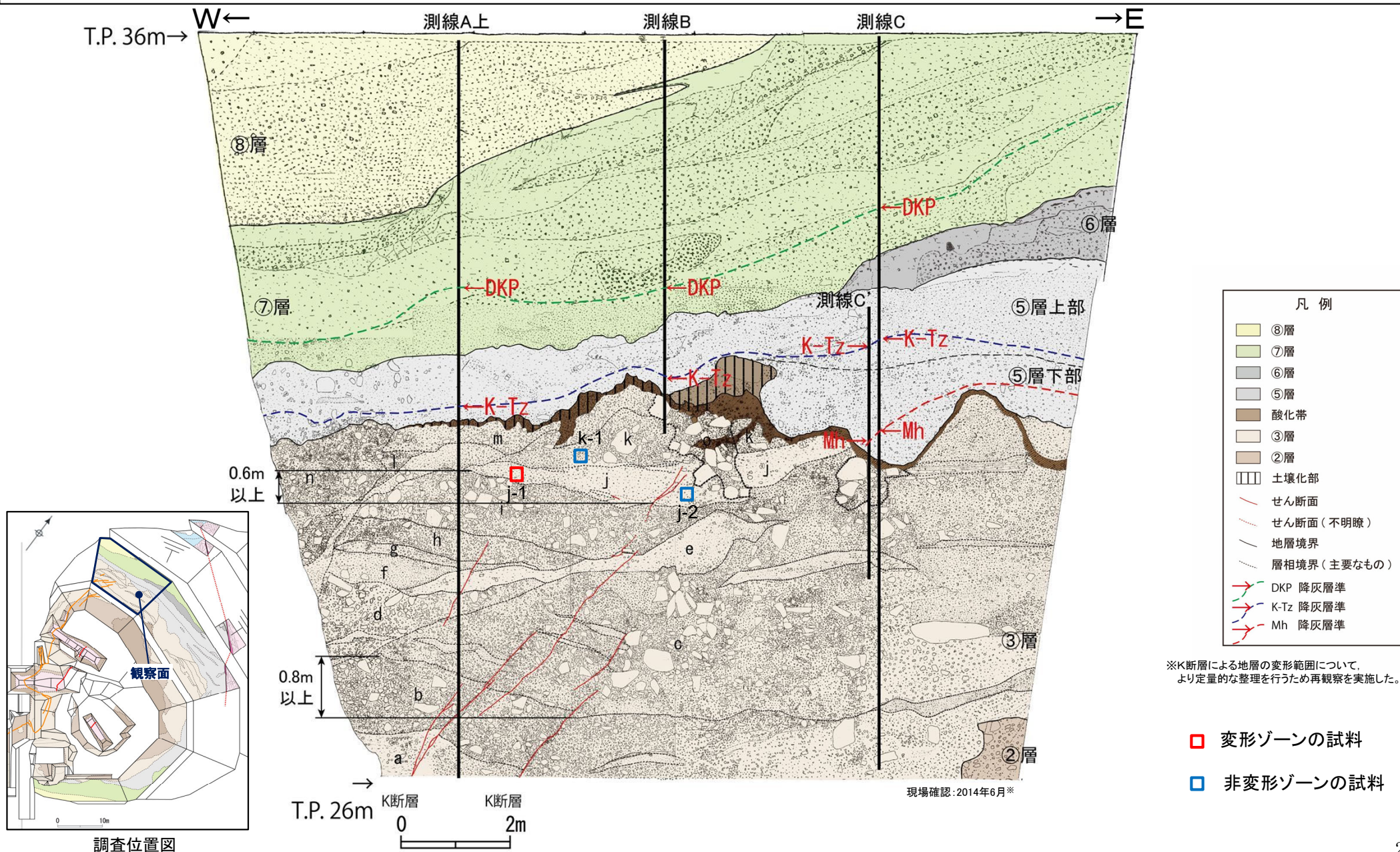




## 2.3.1 活動性評価(北西法面) K断層による地層の変形範囲の把握 (地層の堆積状況の詳細)

第1202回審査会合  
資料1-1 再掲

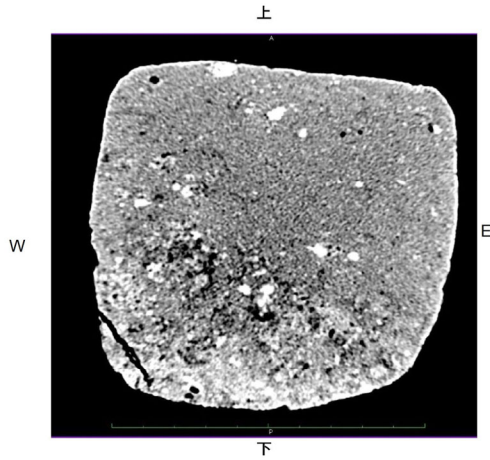
- K断層による影響を受けたj層西側の地層と受けていない層東側の地層及びk層の堆積状況についても、さらに詳細に把握するため、**ブロックサンプルのCT観察**を行った。
- その結果、K断層によって変形を受けたj層西側の地層については**堆積構造が東に傾斜している**ことが確認されたが、K断層による変形を受けていない層東側の地層及びk層については**ほぼ水平に堆積している**状況がCT観察からも確認された。
- D-1トレンチ北西法面のブロックサンプル取得位置を示す。



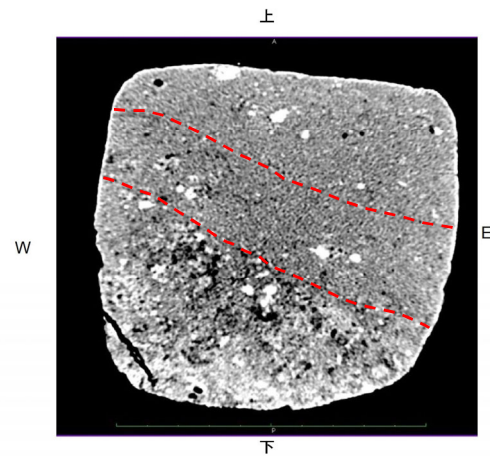


## 2.3.1 活動性評価(北西法面) K断層による地層の変形範囲の把握 (地層の堆積状況の詳細)

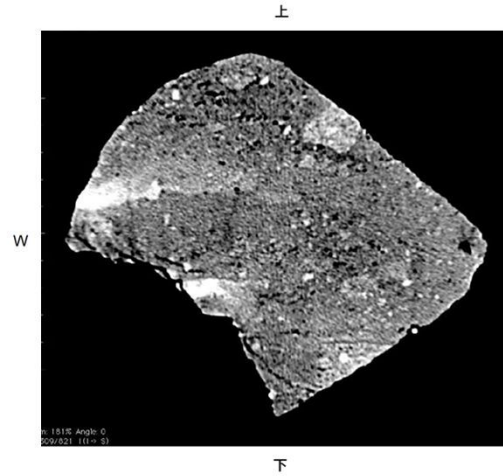
• K断層によって変形を受けたj層西側の地層については堆積構造が東に傾斜していることが確認されたが、K断層による変形を受けていないj層東側の地層及びk層についてはほぼ水平に堆積している状況がCT観察からも確認された。



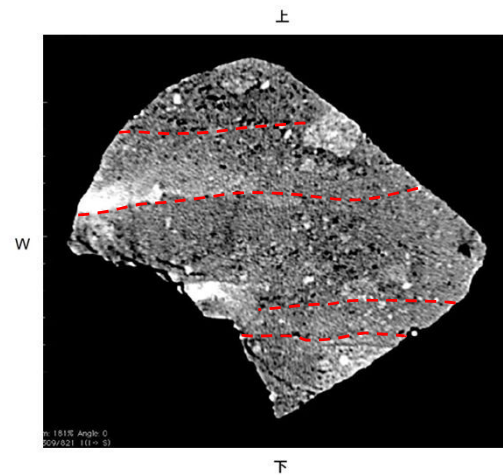
j-1 (K断層による影響を受けたj層西側)



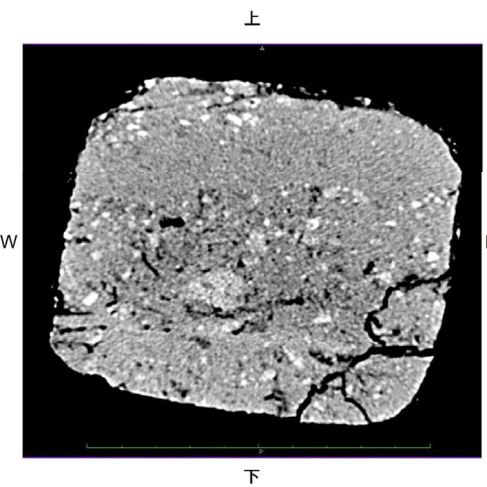
j-1 (K断層による影響を受けたj層西側)



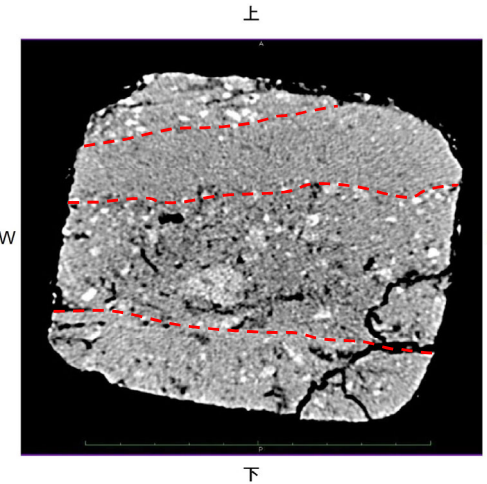
j-2 (K断層による影響を受けていないj層東側)



j-2 (K断層による影響を受けていないj層東側)



k-1 (K断層による影響を受けていないk層)



k-1 (K断層による影響を受けていないk層)

※試料はいずれも定方位で採取し、定方位を維持した状態でCT撮影を行った。 :堆積構造



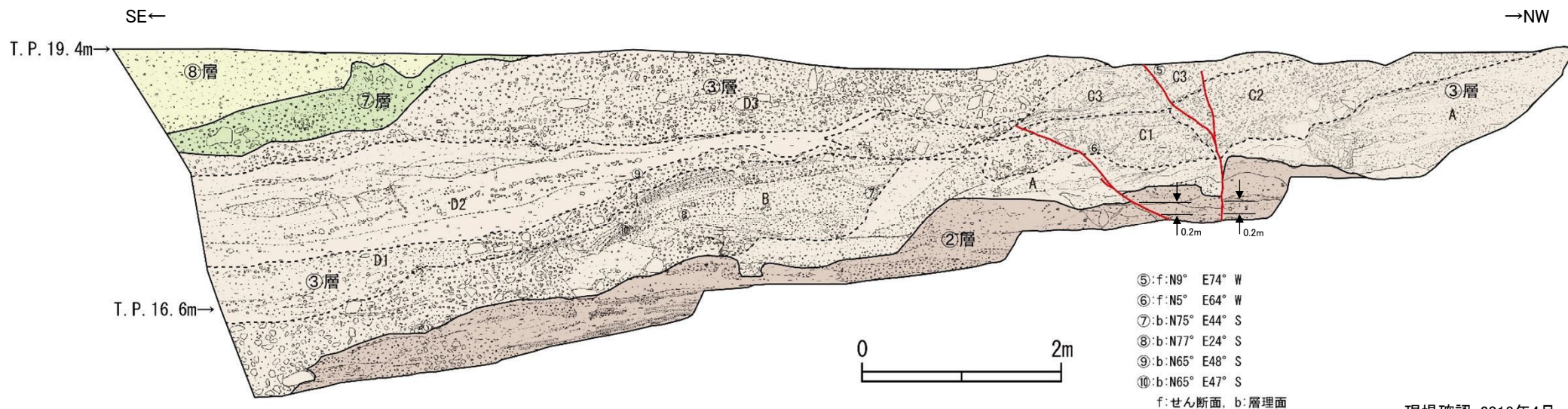
余白

## 2.3.2 活動性評価(原電道路ピット)

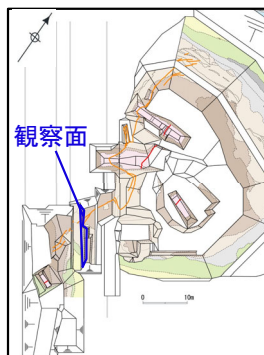


## 2.3.2 活動性評価(原電道路ピット) (原電道路ピット東向き法面 スケッチ)

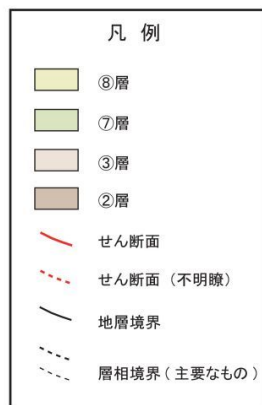
・原電道路ピット東向き法面で認められるK断層は、②層及び③層中のC層までの地層に変位を与えているが、その直上に分布する③層中のD3層は変位・変形を受けておらず、D3層は下位のC層とは明瞭な傾斜不整合関係で接している。同法面では、K断層は数条に分岐しており、②層中の地層を変位基準とした鉛直変位量は合計で0.4mである。



現場確認: 2013年4月



調査位置図



- ⑧層: 細礫・シルト混じり砂を主体とする。橙色(5YR6/6)。礫率5~10%で、礫は径2~4cm程度の亜角礫を含む。基質は、シルト質細砂からなり、細礫混じり砂質シルト、砂混じり粘土及び砂質シルトをレンズ状~層状に挟在する。
- ⑦層: 礫混じり砂質シルト~砂礫からなる。明赤褐色(5YR5/6)~橙色(7.5YR7/6) 礫率7~40%程度で径3~40cm程度の亜角~亜円礫からなる。基質は、シルト混じり細~中粒砂からなる。下部ほど礫の含有量が多い。
- ③層 (C,D): 砂礫及びシルト混じり細砂を主体とする。橙色~明褐色(7.5YR6/6~7.5YR5/6) 礫率15~40%で径1~10cm程度(最大径40cm)の角~亜円礫からなる。基質は、シルト混じり細粒砂からなる。  
(A,B): 砂礫を主体とする。浅黄色(2.5Y7/3) 礫率20%程度で径1~7cm程度(最大径25cm)の亜角~亜円礫からなる。基質は、シルト混じり細粒砂からなる。
- ②層: 細礫・砂混じりシルトを主体とする。灰白色(2.5Y7/1) 礫率3~5%で径5cm以下の角~亜角礫を含む。基質は、シルト混じり細粒砂~砂混じりシルトからなり、砂層をレンズ状に挟在する。



## 2.3.2 活動性評価(原電道路ピット) (原電道路ピット東向き法面)

- 原電道路ピット東向き法面で認められるK断層は、②層及び③層中のC層までの地層に変位を与えているが、その直上に分布する③層中のD3層は変位・変形を受けておらず、D3層は下位のC層とは明瞭な傾斜不整合関係で接している。同法面では、K断層は数条に分岐しており、②層中の地層を変位基準とした鉛直変位量は合計で0.4mである。
- 原電道路ピット東向き法面のスケッチと写真及びK断層が通過している付近の拡大写真を示す。

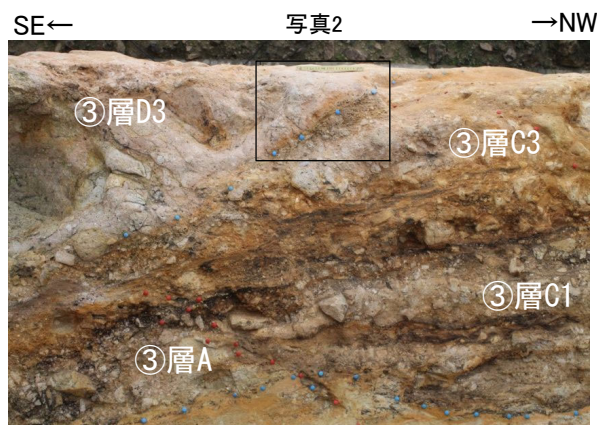
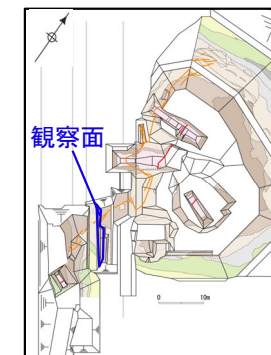
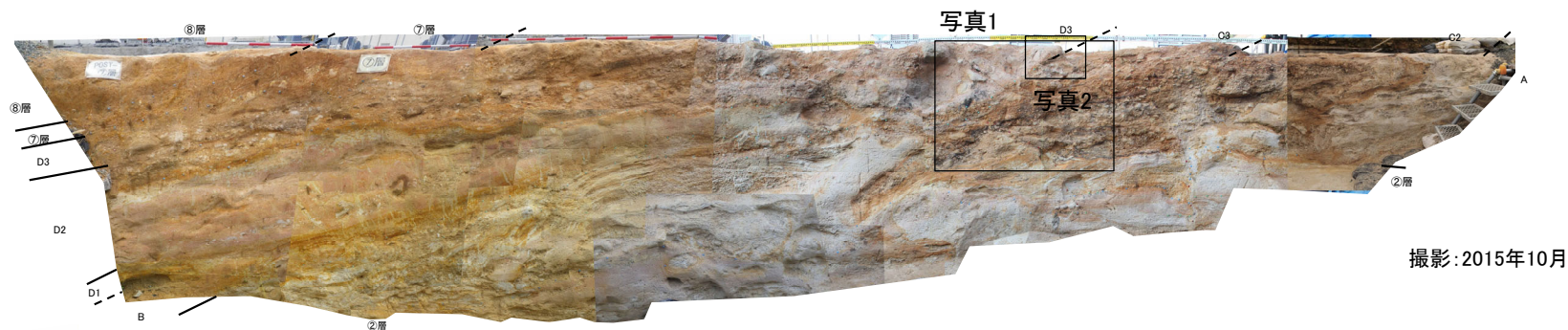
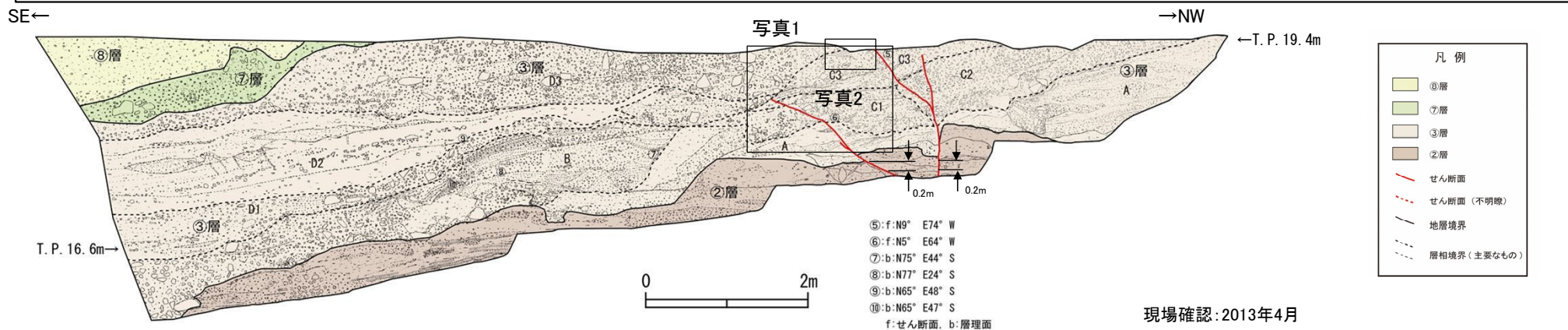


写真1 写真2  
K断層 撮影: 2014年6月



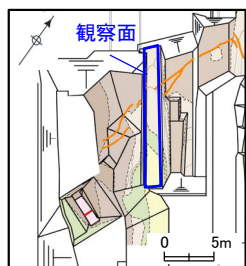
写真1 写真2  
K断層 撮影: 2014年6月

③層下部中には南に緩傾斜する堆積構造が見られるが(写真1)、③層下部の最上部の砂層はほぼ水平な層理を示す(写真2)。



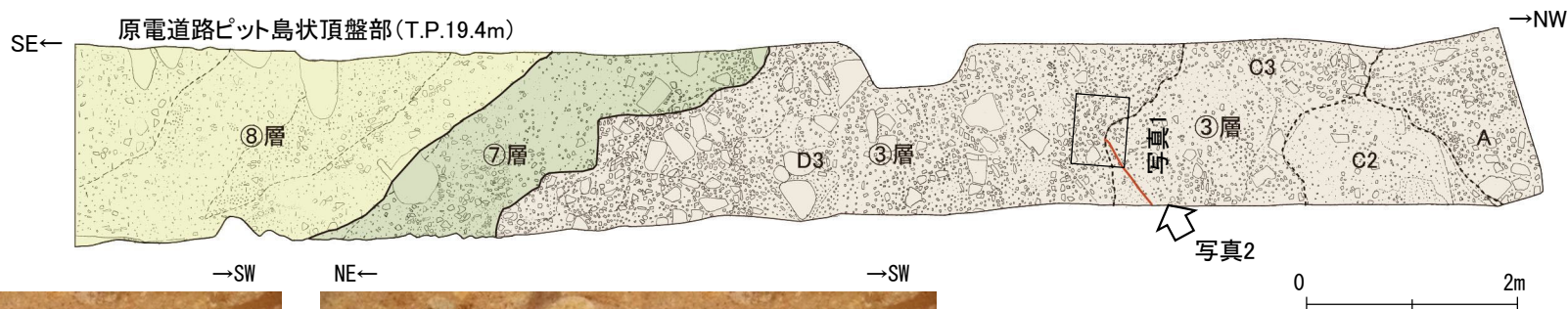
## 2.3.2 活動性評価(原電道路ピット) (原電道路ピット島状頂盤部)

• 原電道路ピット島状頂盤部において、K断層は③層中のC層までの地層に変位を与えているが、その上位の地層である直上に分布する③層中のD3層は変位・変形を受けておらず、D3層は下位のC層とは明瞭な傾斜不整合関係で接している。



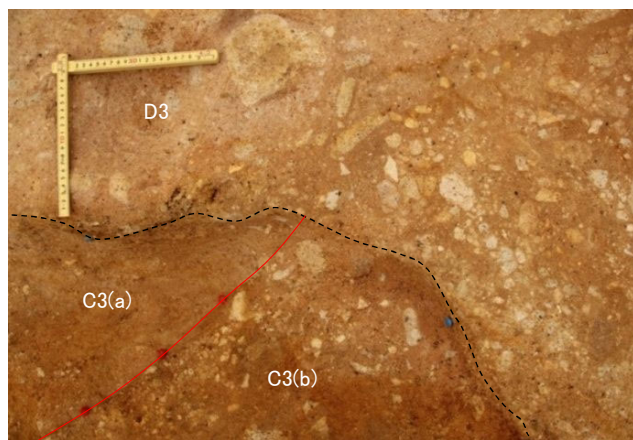
調査位置図

写真(拡大①)及びスケッチ



拡大①

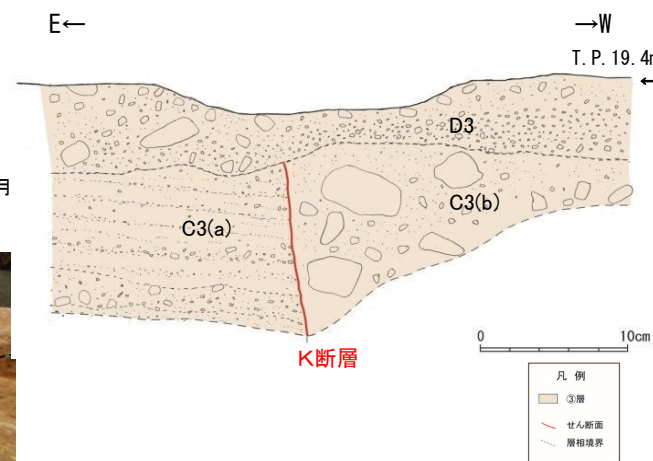
撮影:2014年5月



K断層

拡大①

撮影:2014年5月



C3層 (a): 礫混じりシルト質砂

明褐色を呈する。砂は細～中粒砂からなり、径3～10mm程度の亜角～亜円礫を含む。下部ほど礫率が高く、下位の砂礫とは漸移する。

C3層 (b): 砂礫

明褐色～橙色を呈する。礫率は15%程度である。径10～50mmの風化した亜角～亜円礫を含む。基質はシルト質砂からなる。

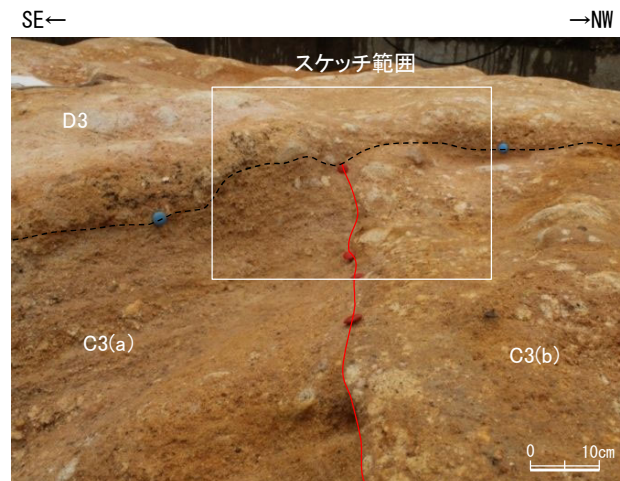
D3層: 砂礫

明褐色～橙色を呈する。礫率は20%程度である。径10～40mmの風化した亜角～亜円礫を含む。基質はシルト質砂からなる。



拡大①(側面から撮影)

撮影:2014年6月



拡大①(側面から撮影) K断層

撮影:2014年6月

現場確認:2014年6月

## 2.3.2 活動性評価(原電道路ピット) 原電道路ピット③層の分布 (原電道路ピット付近の地質分布)

・D-1トレンチ擁壁撤去法面, 原電道路ピット及びふげん道路ピット付近に分布する③層は, D-1トレンチ入口南側法面まで連続して分布している。









展開図範囲図



## 2.3.2 活動性評価(原電道路ピット) (原電道路ピットとD-1トレンチ入口南側法面 ③層の対比)

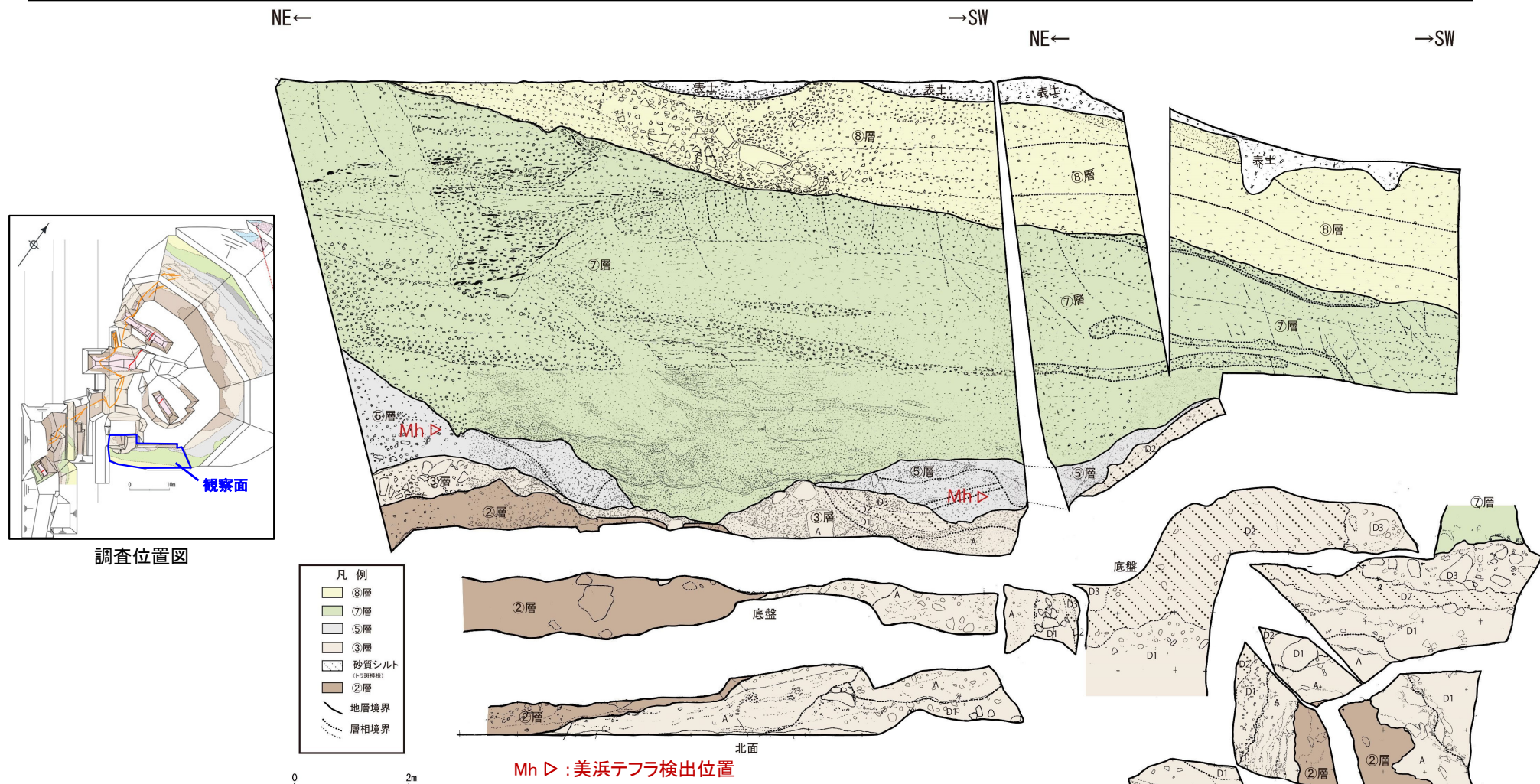
- 原電道路ピット及びふげん道路ピット東法面に見られる③層中のD1層, D2層及びD3層は, D-1トレンチ入口南側法面まで連続して分布しており, 南側法面ではD1層, D2層及びD3層が⑤層に不整合関係で覆われている。
- 原電道路ピットの③層中のD1層, D2層及びD3層は, 層相の類似性からもD-1トレンチの③層に対比される。

地層名	地層区分	原電道路ピット		D-1トレンチ入口南側法面	
		写真	性状	写真	性状
③層	D3		<p>砂礫(浅黄橙色主体) 径1~3cmの礫(最大径25cm) を主体とし, 基質は砂からなる。</p>		<p>砂礫(浅黄橙色主体) 径2~5cmの礫(最大径50cm) を主体とし, 基質は砂からなる。</p>
	D2		<p>シルト質砂~礫混じり砂質 シルト(にぶい橙色主体) 部分的に礫が混じるが, シルト~中粒砂からなる。 風化の影響により斑状模様 を呈する。</p>		<p>礫混じり砂質シルト (にぶい橙色主体) 部分的に礫が混じるが, シルト~中粒砂からなる。 風化の影響により斑状模様 を呈する。</p>
	D1		<p>砂礫(橙色主体) 径1~3cmの礫(最大径15cm) を主体とし, 基質は砂からなる。 下位層を削り込んでいる。</p>		<p>砂礫(橙色主体) 径2~5cmの礫(最大径30cm) を主体とし, 基質は砂からなる。 下位層を削り込んでいる。</p>



## 2.3.2 活動性評価(原電道路ピット) テフラ分析結果 (D-1トレンチ入口南側法面)

・D-1トレンチ入口南側法面の⑤層からは、**美浜テフラ**が検出された。

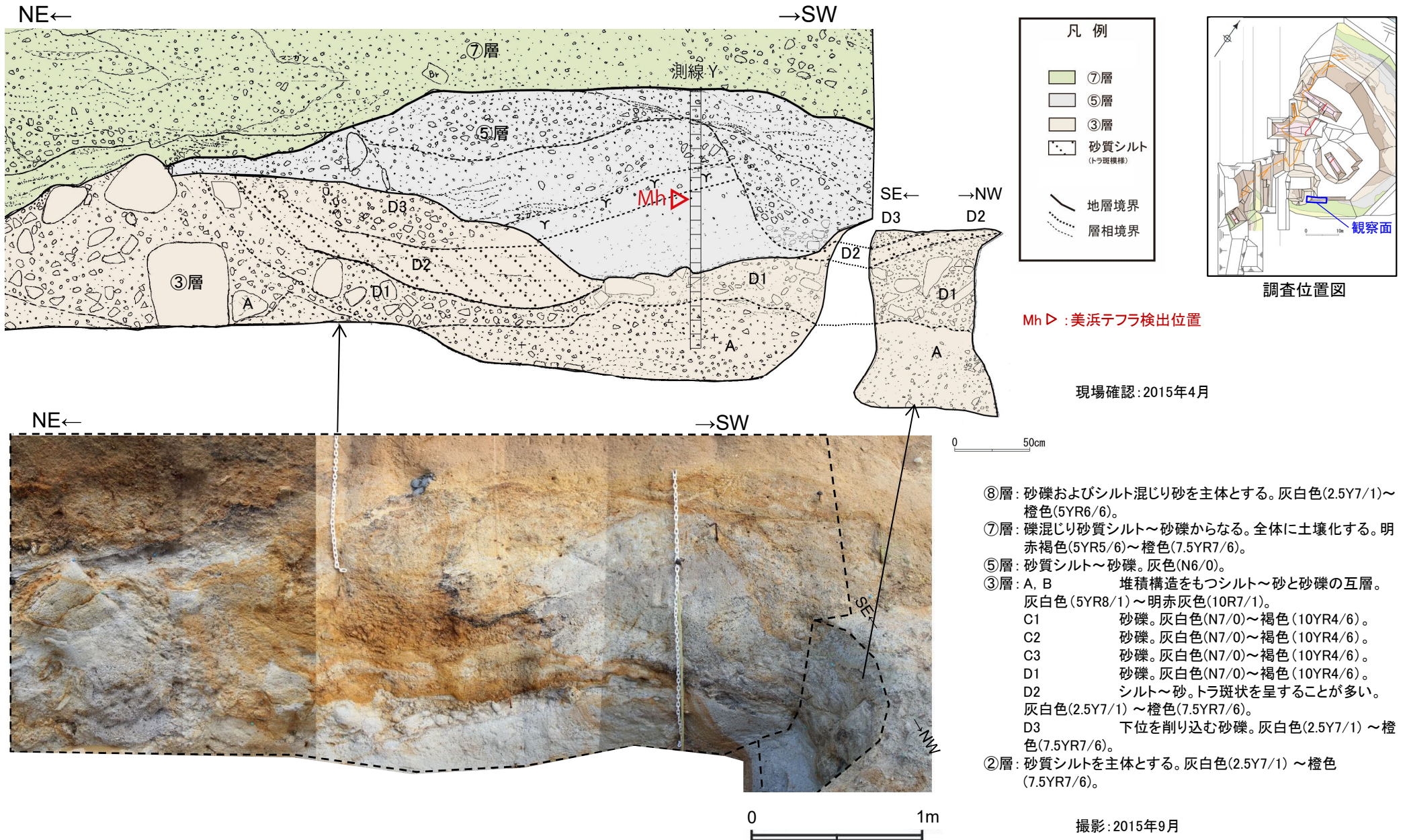


- ⑧層: 砂礫およびシルト混じり砂を主体とする。灰白色(2.5Y7/1)～橙色(5YR6/6)。
- ⑦層: 礫混じり砂質シルト～砂礫からなる。全体に土壌化する。明赤褐色(5YR5/6)～橙色(7.5YR7/6)。
- ⑤層: 砂質シルト～砂礫。灰白色(N6/0)。
- ③層: A, B 堆積構造をもつシルト～砂と砂礫の互層。灰白色(5YR8/1)～明赤灰色(10R7/1)。
- C1 砂礫。灰白色(N7/0)～褐色(10YR4/6)。
  - C2 砂礫。灰白色(N7/0)～褐色(10YR4/6)。
  - C3 砂礫。灰白色(N7/0)～褐色(10YR4/6)。
  - D1 砂礫。灰白色(N7/0)～褐色(10YR4/6)。
  - D2 シルト～砂。トラ斑状を呈することが多い。灰白色(2.5Y7/1)～橙色(7.5YR7/6)。
  - D3 下位を削り込む砂礫。灰白色(2.5Y7/1)～橙色(7.5YR7/6)。
- ②層: 砂質シルトを主体とする。灰白色(2.5Y7/1)～橙色(7.5YR7/6)。



## 2.3.2 活動性評価(原電道路ピット) テフラ分析結果 (D-1トレンチ入口南側法面)

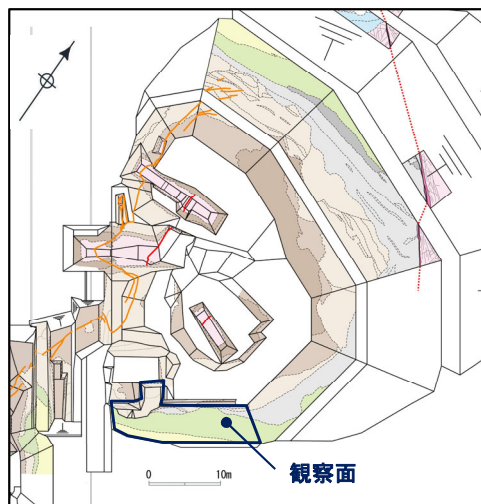
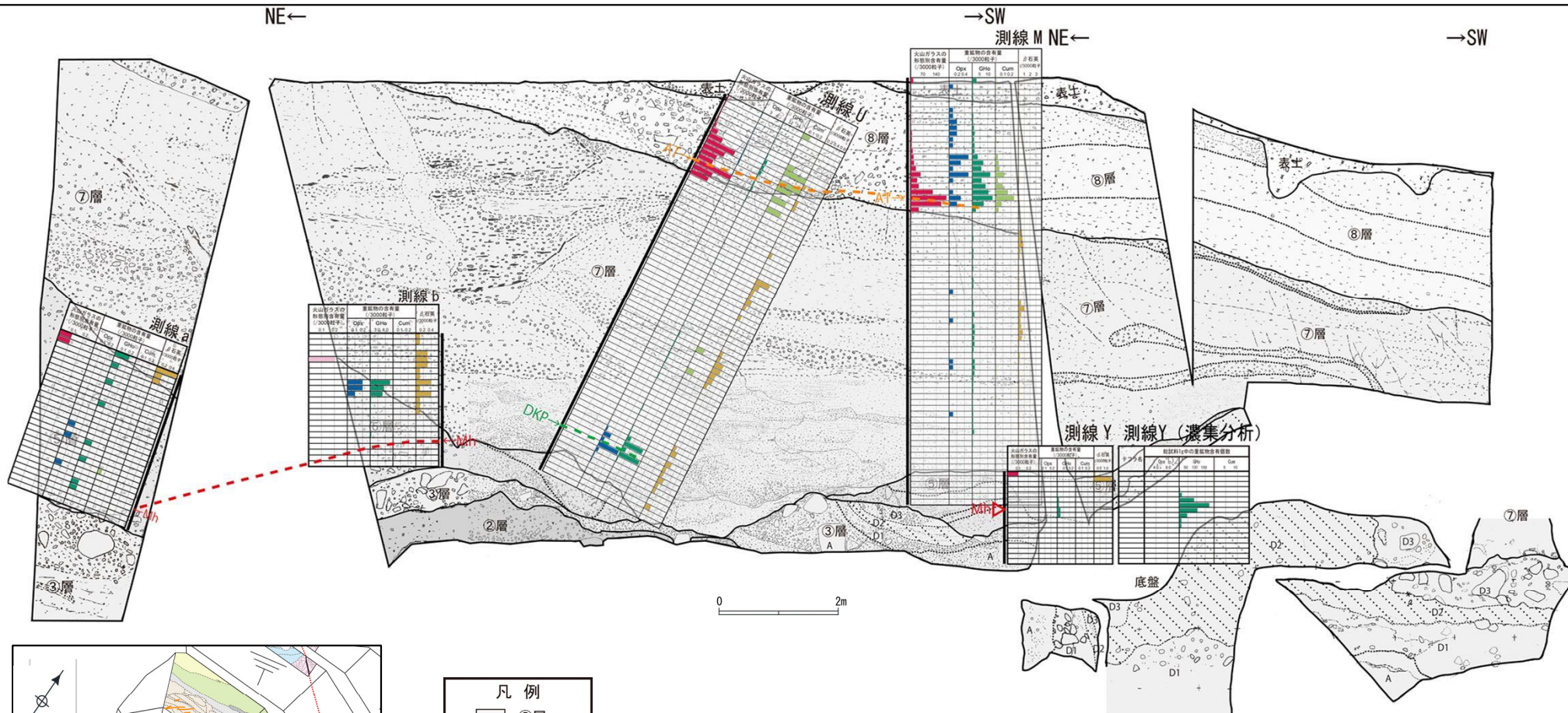
- D-1トレンチ入口南側法面のうち、測線Y付近の拡大スケッチと写真を示す。
- D-1トレンチ入口南側法面の⑤層からは、美浜テフラが検出された。





## 2.3.2 活動性評価(原電道路ピット) テフラ分析結果 (D-1トレンチ入口南側法面)

・D-1トレンチ入口南側法面の⑤層からは美浜テフラが検出された。また、⑦層からDKPが検出されており、D-1トレンチの北法面及び北西法面と調和的な結果である。



調査位置図

凡例	
[Pattern]	⑧層
[Pattern]	⑦層
[Pattern]	⑤層
[Pattern]	③層
[Pattern]	砂質シルト (トラ斑模様)
[Pattern]	②層
[Symbol]	地層境界
[Symbol]	層相境界

- ⑧層: 砂礫およびシルト混じり砂を主体とする。灰白色(2.5Y7/1)～橙色(5YR6/6)
- ⑦層: 礫混じり砂質シルト～砂礫からなる。全体に土壌化する。明赤褐色(5YR5/6)～橙色(7.5YR7/6)
- ⑤層: 砂質シルト～砂礫。灰色(N6/0)
- ③層: A, B 堆積構造をもつシルト～砂と砂礫の互層。灰白色(5YR8/1)～明赤灰色(10R7/1)
  - C1 砂礫。灰白色(N7/0)～褐色(10YR4/6)
  - C2 砂礫。灰白色(N7/0)～褐色(10YR4/6)
  - C3 砂礫。灰白色(N7/0)～褐色(10YR4/6)
  - D1 砂礫。灰白色(N7/0)～褐色(10YR4/6)
  - D2 シルト～砂。トラ斑状を呈することが多い。灰白色(2.5Y7/1)～橙色(7.5YR7/6)
  - D3 下位を削り込む砂礫。灰白色(2.5Y7/1)～橙色(7.5YR7/6)
- ②層: 砂質シルトを主体とする。灰白色(2.5Y7/1)～橙色(7.5YR7/6)

## 2.3.2 活動性評価(原電道路ピット) テフラ分析結果 (主成分分析結果) D-1トレンチ入口南側法面

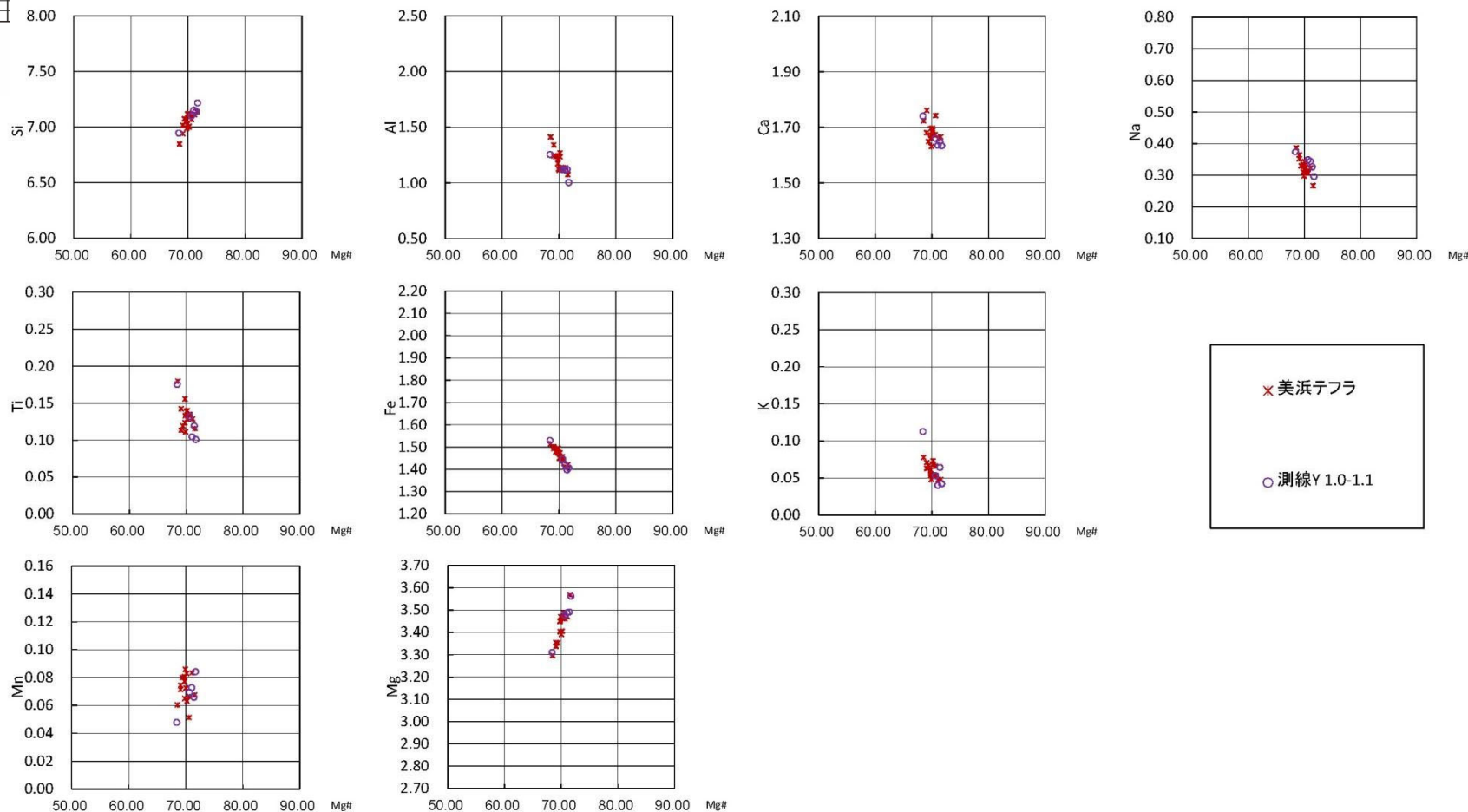
- 測線Yの普通角閃石の**主成分分析結果**によれば、Mg#の範囲及び各元素の含有量の範囲の重なりが良いことから、**美浜テフラ**に対比される。

第1202回審査会合  
資料1-1 再掲

測線Y(濃集分析)

試料番号	テフラ名	総試料1g中の重鉱物含有個数				
		Opx	GHo	Cum		
		4.0	8.0	50	100	150
1.7-1.8						
1.6-1.7						
1.5-1.6						
1.4-1.5						
1.3-1.4						
1.2-1.3						
1.1-1.2						
1.0-1.1						
0.9-1.0						
0.8-0.9						
0.7-0.8						
0.6-0.7						
0.5-0.6						
0.4-0.5						
0.3-0.4						
0.2-0.3						
0.1-0.2						
0.0-0.1						

● 主成分分析位置



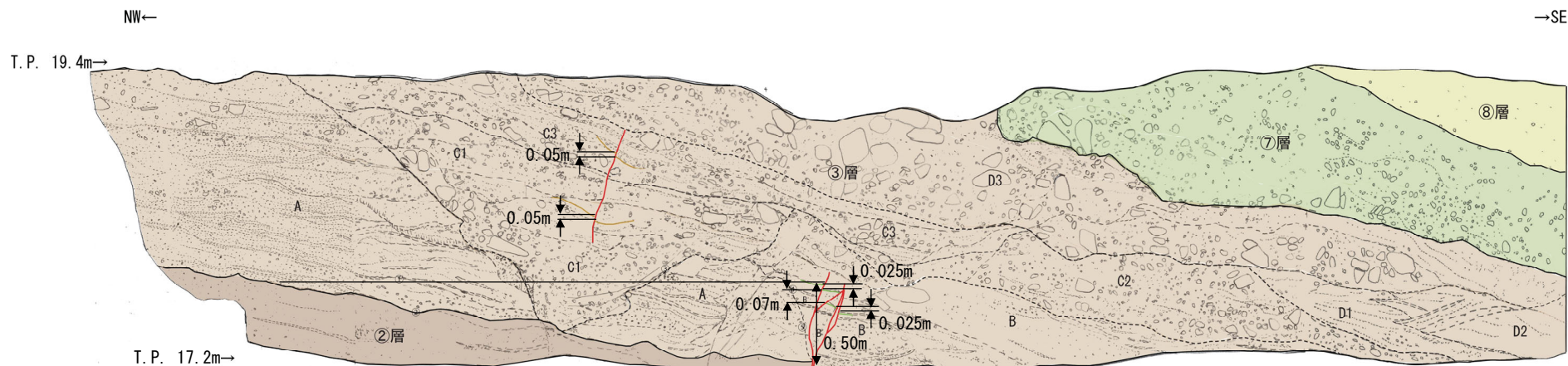
× 美浜テフラ  
○ 測線Y 1.0-1.1



### 2.3.3 活動性評価(ふげん道路ピット)

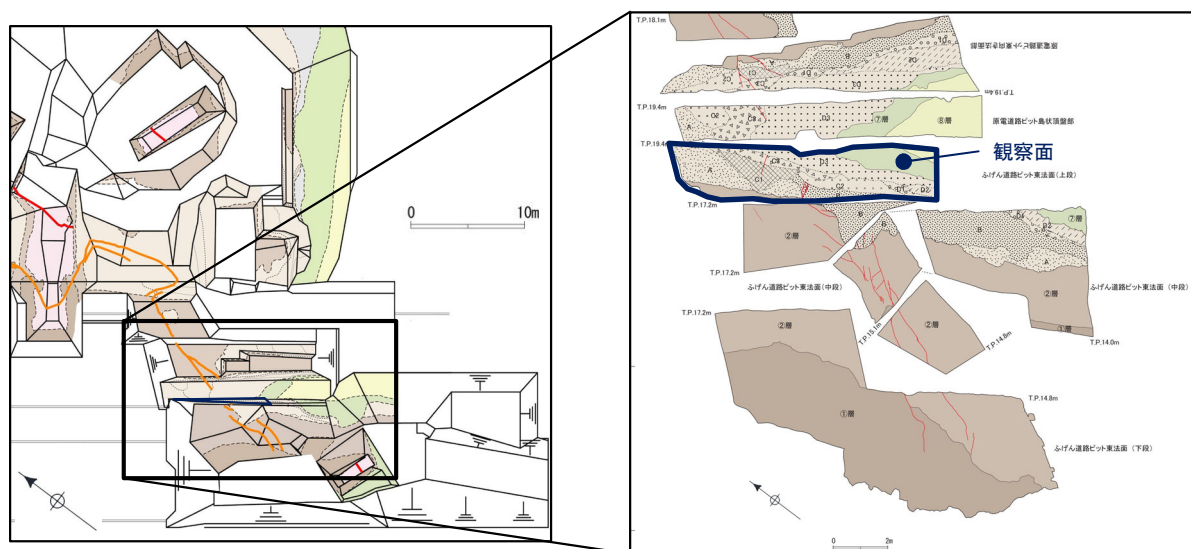
### 2.3.3 活動性評価(ふげん道路ピット) (ふげん道路ピット東法面)

- ふげん道路ピット東法面において認められたK断層は、②層及び③層中のC層までの地層に変位・変形を与えているが、その直上に分布する③層中のD3層の基底には、原電道路ピット東向き法面と同様、K断層による変位・変形は及んでおらず、D3層は下位のC層とは明瞭な傾斜不整合関係で接している。
- D3層の堆積年代については、原電道路ピット東向き法面において、③層のOSL年代測定を、K断層と傾斜不整合関係で接しているD3層について実施しており、③層の堆積年代は133±9kaより古いことを確認した。なお、D3層に対比される地層は、D-1トレンチ入口南側法面において、美浜テフラを含む⑤層に不整合関係で覆われていることを確認している。
- これらのことから、ふげん道路ピット及び原電道路ピットにおいて、K断層は133±9ka以前に堆積したD3層に変位・変形を与えていない。

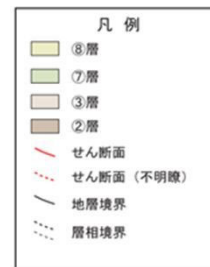


現場確認: 2013年4月

- ⑧層: 細礫・シルト混じり砂を主体とする。橙色(5YR6/6)。礫率5~10%で、礫は径2~4cm程度の亜角礫を含む。基質は、シルト質細砂からなり、細礫混じり砂質シルト。砂混じり粘土及び砂質シルトをレンズ状~層状に挟在する。
- ⑦層: 礫混じり砂質シルト~砂礫からなる。明赤褐色(5YR5/6)~橙色(7.5YR7/6) 礫率7~40%程度で径3~40cm程度の亜角~亜円礫からなる。基質は、シルト混じり細~中粒砂からなる。下部ほど礫の含有量が多い。
- ③層 (C,D): 砂礫及びシルト混じり細砂を主体とする。橙色~明褐色(7.5YR6/6~7.5YR5/6) 礫率15~40%で径1~10cm程度(最大径40cm)の角~亜円礫からなる。基質は、シルト混じり細粒砂からなる。  
(A,B): 砂礫を主体とする。浅黄色(2.5Y7/3) 礫率20%程度で径1~7cm程度(最大径25cm)の亜角~亜円礫からなる。基質は、シルト混じり細粒砂からなる。
- ②層: 細礫・砂混じりシルトを主体とする。灰白色(2.5Y7/1) 礫率3~5%で径5cm以下の角~亜角礫を含む。基質は、シルト混じり細粒砂~砂混じりシルトからなり、砂層をレンズ状に挟在する。



調査位置図



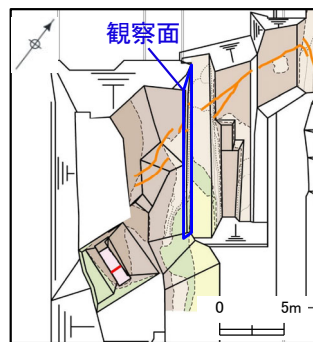
- ①: b: N72° W20° S
- ②: b: N53° E12° S
- ③: f: N66° E33° N
- ④: b: N43° E25° S
- ⑤: f: N25° E70° E
- f: せん断面
- b: 層埋面





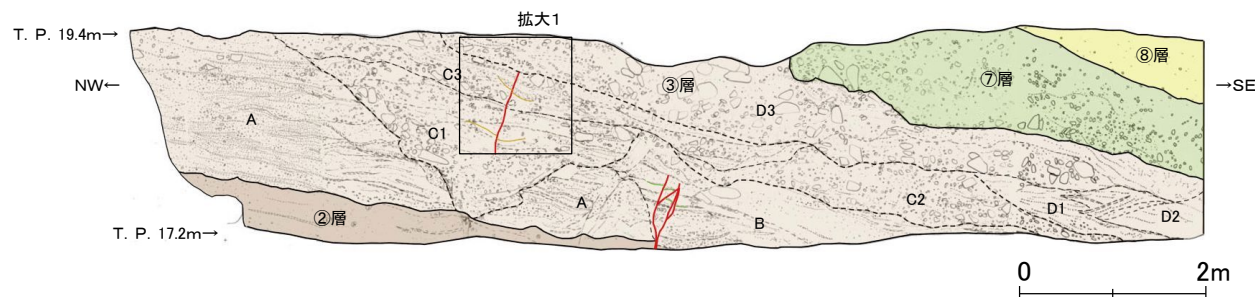
### 2.3.3 活動性評価(ふげん道路ピット) (ふげん道路ピット東法面)

・ ふげん道路ピット東法面において認められたK断層は、②層及び③層中のC層までの地層に変位・変形を与えているが、その直上に分布する③層中のD3層の基底には、原電道路ピット東向き法面と同様、**K断層による変位・変形は及んでおらず、D3層は下位のC層とは明瞭な傾斜不整合関係で接している。**



調査位置図

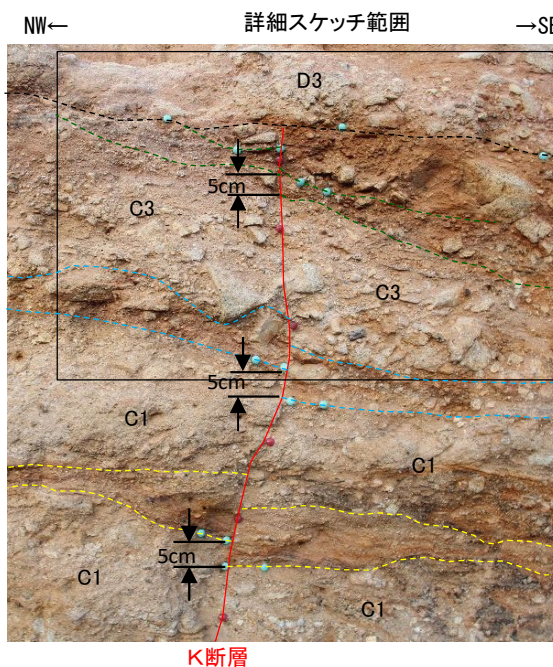
ふげん道路ピット東法面(上段)



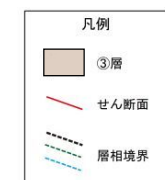
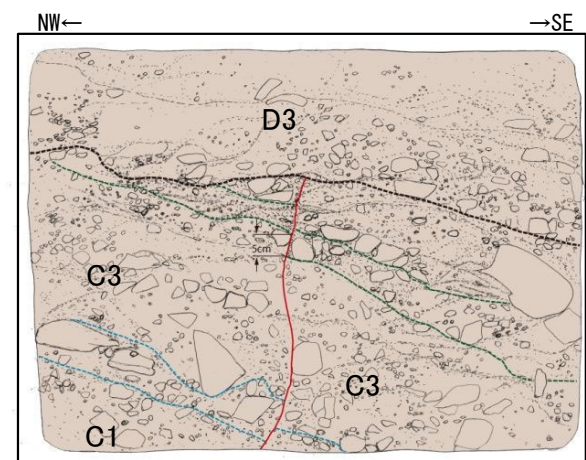
現場確認: 2013年4月



撮影: 2015年9月



写真(拡大1)及びスケッチ



K断層



D3: 砂礫  
明褐色～橙色を呈する。礫率は20%程度であり、径10～40mmの風化した亜角～亜円礫を含む。基質はシルト質砂からなる。下位ほど礫率が高い。K断層を不整合で覆う。

C3: 礫混じりシルト質砂  
褐色を呈する礫率が20%程度と高い地層に明褐色を呈する礫率が10%程度と低い地層を挟む互層状を呈する。径10～100mm程度の風化した亜角～亜円礫を含む。基質はシルト質砂からなる。

C1: 礫・シルト混じり砂  
明褐色を呈する。礫率は15%程度であり、径5～30mmの風化した亜角～亜円礫を含む。基質はシルト混じり砂からなる。C3より細粒で互層状を呈する。

現場確認: 2015年9月

余白



## 2.3.4 まとめ

## 2.3.4 まとめ

### 【活動性評価(北西法面)】

- K断層はD-1トレンチ北西法面において、美浜テフラの降灰層準が認定され、OSL年代測定結果が $126 \pm 5\text{ka}$ である⑤層下部の下位層準にある③層中のk層に変位・変形を与えておらず、**後期更新世以降の活動が認められない。**

### 【活動性評価(原電道路ピット)】

- 原電道路ピットの③層のD1層、D2層及びD3層は、MIS6以前に堆積した地層と判断され、K断層は少なくともMIS6以前に堆積したD3層に変位・変形を与えていないことが下位層との明瞭な傾斜不整合関係から確認でき、D-1トレンチ北西法面における調査結果と同様、**後期更新世以降の活動が認められない。**

### 【活動性評価(ふげん道路ピット)】

- ふげん道路ピットにおいても、K断層は少なくともMIS6以前に堆積したD3層に変位・変形を与えていないことから、D-1トレンチ北西法面における調査結果と同様、**後期更新世以降の活動が認められない。**

D-1トレンチ北西法面、原電道路ピット及びふげん道路ピットのいずれの調査結果においても、K断層は将来活動する可能性のある断層等ではないと判断した。



## 2.4 まとめ

## 2.4 まとめ K断層の活動性評価の概要

括弧内の数字は、本編資料の2. K断層の活動性評価のうち  
関連する箇所ハイフンより後のページ番号(資料例)

## ①K断層の分布の把握

K断層は、基盤岩上面付近において、D-1トレンチ北西法面からふげん道路ピット中央付近まで連続して認められる断層である。

- K断層の走向は主としてN-S~NNE-SSW方向であり、1-1ピット底盤付近で局所的にNW-SE方向となるが、トレンチ内では連続している様子を確認出来る(46頁)。
- K断層は堆積物(未固結被覆層)中にも分布している断層であることから、堆積物中では変位が数条に分散する場合がある(48,54,60,62,64,72,74,76,78,79,88,98,116,126頁)。このため、D-1トレンチの平面図でも堆積物中ではK断層が数条に分岐する箇所がある(46頁)。なお、基盤岩において平面的に連続する断層の変位に伴い、堆積物中では断層が数条に分岐し、変位が分散することは一般的であり、多くの断層露頭やトレンチ壁面で観察される他、断層模型実験の結果(104頁)とも整合する(134頁赤丸)。
- トレンチ内ではK断層が上載地層で覆われている箇所が複数確認されている(98,103,117,118,127頁)。トレンチ掘削面の島状頂盤部に上載地層が残存する原電道路ピットなどでは、掘削面におけるK断層の分布は不連続となる(117,118,127頁)(134頁緑丸)。

## ②活動性評価手法の検討

K断層には上載地層が分布しており、上載地層の堆積年代が後期更新世以前であるか否かを検討した。

いずれの上載地層とも後期更新世以前に堆積した地層であることを確認した。

(北西法面)

- K断層を覆う③層\*1中のk層より上位の地層である⑤層下部中のテフラは、複数の根拠から127kaに降灰した美浜テフラ\*2と評価した(16~28頁)。
- 当初申請\*以降に追加実施した美浜テフラ層準のOSL年代測定結果は $126 \pm 5$ kaとテフラ分析による年代と整合している(39,41頁)。
- その他テフラの降灰層準で実施したOSL年代測定結果もテフラ分析による年代と整合している(39,41頁)。

\*1 ③層最上部の土壌化部は、河田・小島(1979)の土壌生成で発達した地層(B層)に相当する(31~35頁)。同層の結晶化指数は0.69~0.95であり、永塚(1975)の赤色土に相当するが、山家・八木(1983)は土壌区分に結晶化指数を使用するのが困難な事例を示している(36頁)。

\*2 古澤他(2021)によれば、美浜テフラの給源火山を特定することはできないが、微量成分元素の組成から九州起源のテフラである可能性が高いとしている。

(原電道路ピット、ふげん道路ピット)

- D3層はD-1トレンチ入口南側法面に連続しており(119,120頁)、当初申請\*以降に同法面で追加実施したテフラ分析によれば、D3層を覆う⑤層に美浜テフラの降灰層準が認められたことから、D3層は少なくとも127kaよりも古いことを確認している(121~124頁)。
- K断層を覆う③層中のD3層で、当初申請\*以降に追加実施したOSL年代測定結果では $133 \pm 9$ ka(40,41頁)。

※平成27年11月 設置変更許可申請書

K断層の活動時期の評価にあたっては上載地層法を用いることとした。



## 2.4 まとめ K断層の活動性評価の概要

### ③K断層と上載地層の関係

上載地層法によるK断層の活動性評価は3地点で実施した。いずれの地点においても、K断層は後期更新世よりも古い地層に影響を与えていない。

(北西法面)(87～113頁)

- K断層は、③層中のj層まで変位・変形を与えているが、k層には影響を与えていない(98～103,105～113頁)。
- k層は127kaの美浜テフラを含む⑤層下部よりも古い地層であることから(16～28,39,41頁)、K断層は後期更新世以降は活動していない。  
(補 足)
  - k層の分布をより明確に把握するため、当初申請※時の観察法面をさらに掘り込んで観察した。その結果、k層を削り込んでいたo層は狭小となり、K断層による影響を受けたj層と受けていないk層の不整合関係やk層基底の水平性がより明確になった(103頁)。
  - 堆積物である③層の下部では変位を主体、上部では変形を主体とする断層であり(48頁)、断層模型実験の結果(104頁)とも整合している。北西法面ではK断層は1m程度の変位・変形量を有しており(48頁)、③層中のk層基底が水平である(98～103,105～113頁)ことから、K断層はk層以上の地層に影響を与えていないことを明確に判断出来る。
  - ③層について、K断層による影響の有無を検討した結果、影響を受けている範囲と受けていない範囲を適切に把握出来ていることを③層の走向・傾斜に関するクラスター分析から確認した(105～111頁)。

(原電道路ピット 及び ふげん道路ピット)(115～124,125～127頁)

- 原電道路ピット及びふげん道路ピットでは、K断層は③層中のC層まで変位・変形を与えているが、影響を受けていないD3層はC層とは明瞭な傾斜不整合関係で接している(116～118,126,127頁)。
- 当初申請※以降に追加実施したD3層のOSL年代は $133 \pm 9$ kaより古いことから(40,41頁)、K断層は後期更新世以降は活動していない。  
(補 足)
  - ①～③層にはK断層による断層変位の累積性が認められないことから、K断層は③層堆積以降に1回活動した断層であると判断した(64頁)。
  - 1-1ピット南面では、岩盤/①層、①層/②層、②層/③層の各境界がK断層による影響を受けている状況が観察出来る。これらの地層には断層変位の累積性は認められないことから、K断層はこれらの地層が堆積した以降に1回しか活動していない。なお、①層上面をK断層の位置で復元すると、K断層上盤側の岩盤上面は下盤側よりも下がっていることから①層堆積時に岩盤上面に不陸が初生的にあったことから、①層の地層の厚さも上盤側と下盤側とで異なっている(64頁)。

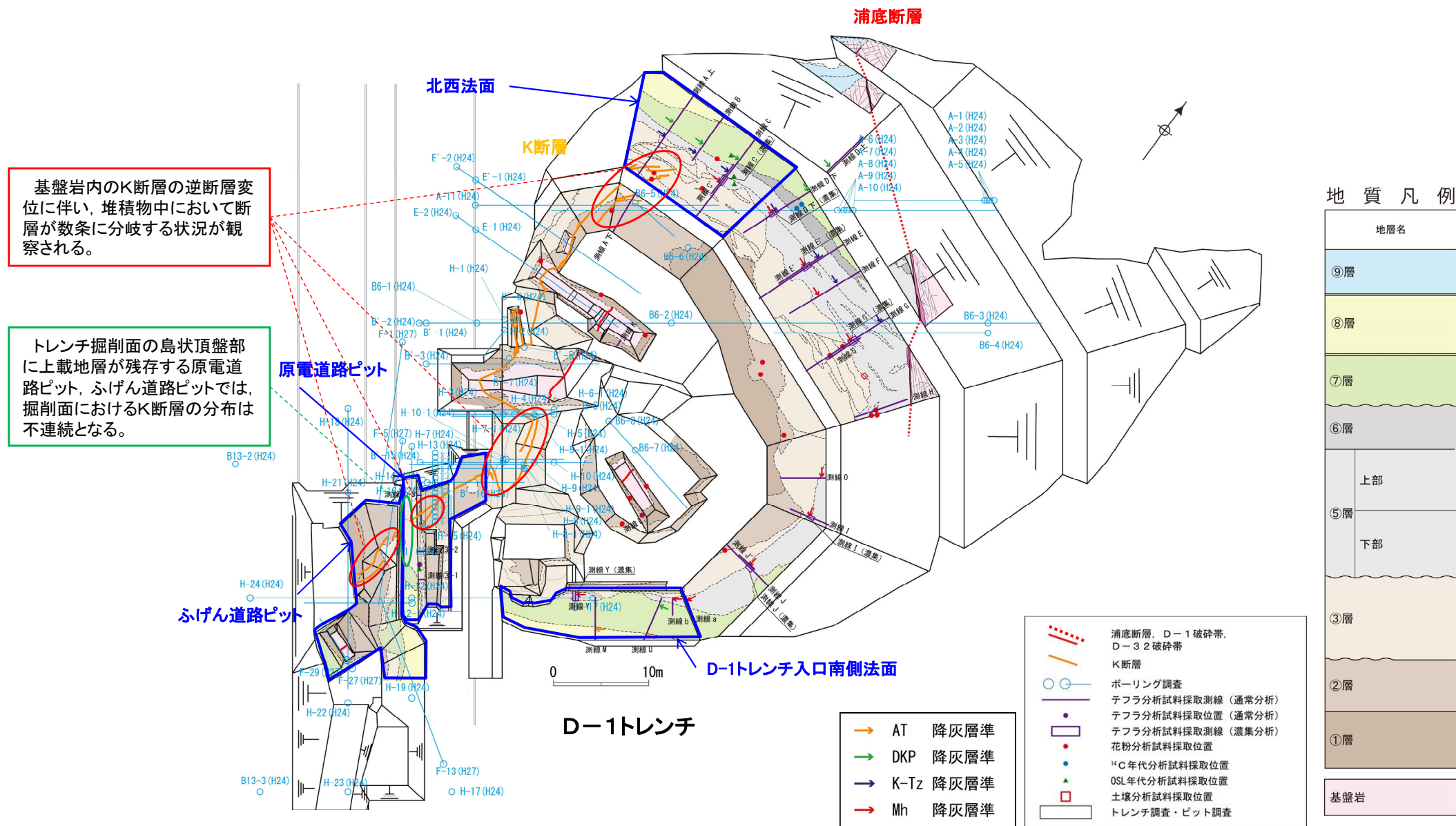
※平成27年11月 設置変更許可申請書

### ④K断層の活動性評価結果

K断層は、将来活動する可能性のある断層等ではない。

- K断層はD-1トレンチ内で連続して分布している断層である。
- K断層を覆う上載地層は後期更新世よりも古い地層であることから、上載地層法による活動性評価を実施した。
- 3地点で実施した活動性評価の結果は整合的であり、いずれも後期更新世以降の活動は認められないことを確認した。

## 2.4 まとめ K断層の分布(D-1トレンチの平面図)



基盤岩内のK断層の逆断層変位に伴い、堆積物中において断層が数条に分岐する状況が観察される。

トレンチ掘削面の島状頂盤部に上載地層が残存する原電道路ピット、ふげん道路ピットでは、掘削面におけるK断層の分布は不連続となる。

### 3. 審査会合におけるコメントの回答 (コメント No.1202-23)



### 3. 審査会合におけるコメントの回答(コメント No.1202-23)

(コメント内容)

- 当初申請書に記載していた③層で実施したテフラ分析結果を補正申請で削除した理由について説明すること。



(回答)

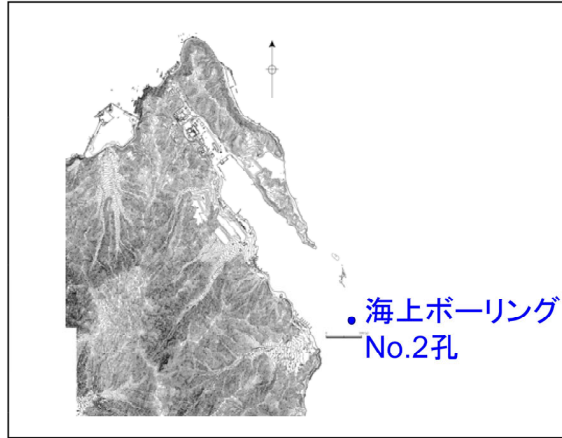
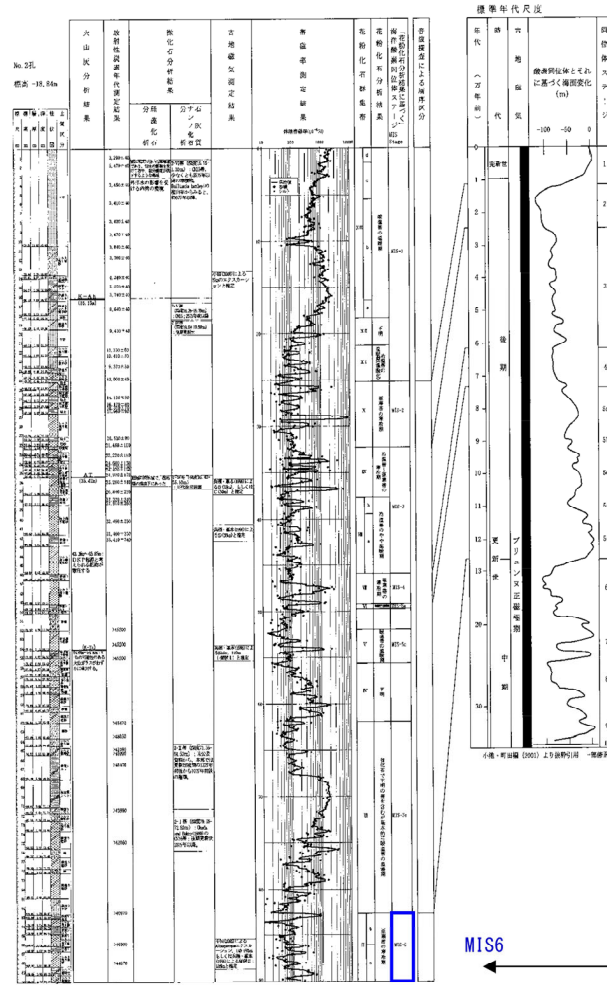
当初申請書に記載していた③層で実施したテフラ分析結果を次頁以降に示す。

補正申請(令和5年8月31日提出)においては、D-1トレンチ北西法面で実施したOSL年代分析結果が年代既知のテフラ分析の結果(DKP降灰層準, K-Tz降灰層準, Mh降灰層準)と整合的であったことから、③層の堆積年代の説明ではOSL年代分析結果に重きを置いたため、③層で実施したテフラ分析結果を削除した。

しかしながら、③層で実施したテフラ分析結果は、③層の堆積時期を示すデータとしては有効であることから、地層の堆積時期を示す花粉分析結果と同様の位置付けで、③層の堆積年代を補足するデータとして使用することとする。

### 3. 審査会合におけるコメントの回答(コメント No.1202-23)

当初申請書に記載していた③層に係るテフラ分析結果(1/4)

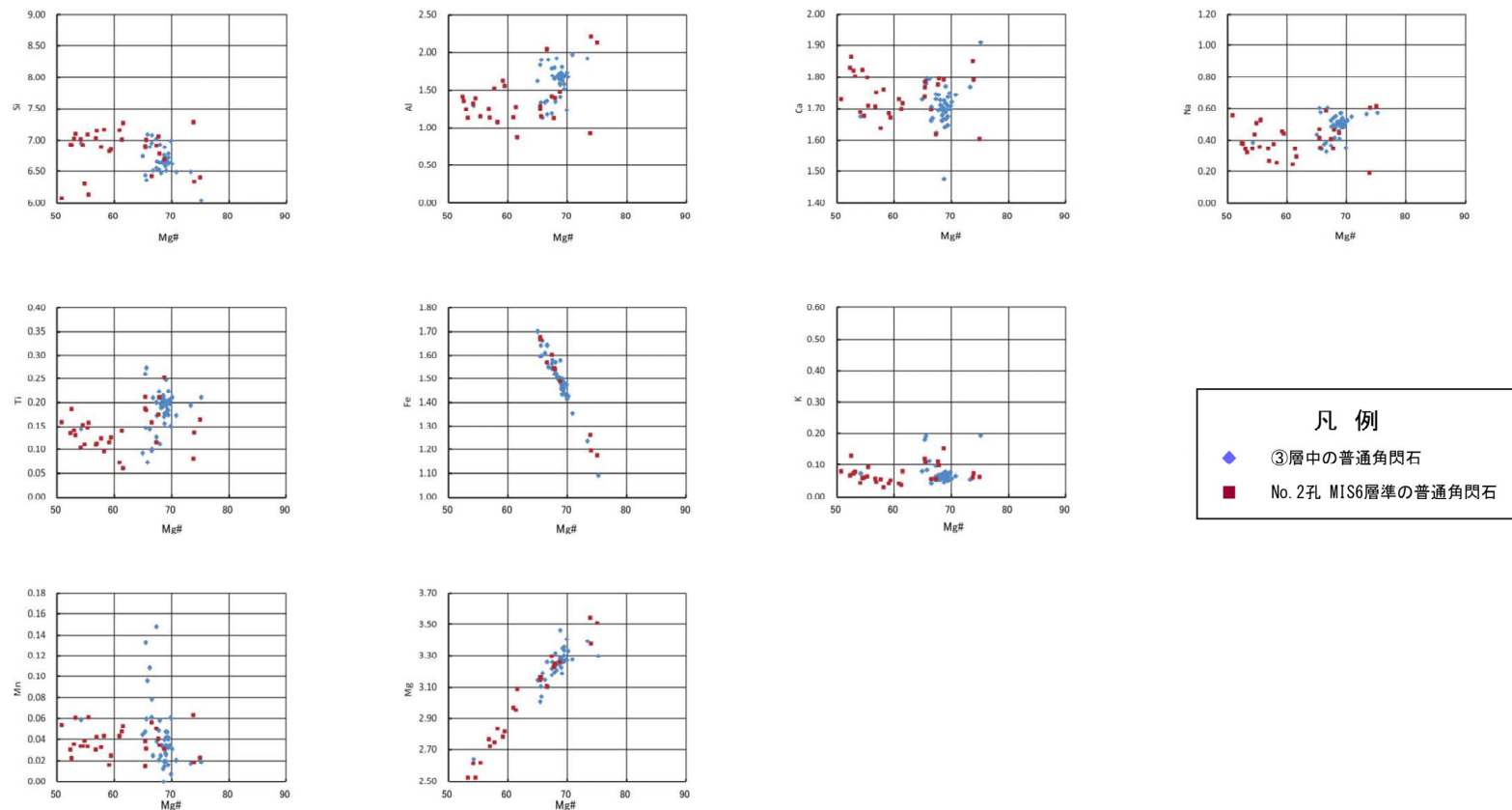


試料番号	テフラ名	濃度物の含有率 (3000粒/1)			J 有率 (3000粒/1)	備考
		Opx	GfHs	Cum		
IS-24-88-01						
IS-24-88-02						
IS-24-88-03						
IS-24-88-04						
IS-24-88-05						
IS-24-88-06						
IS-24-88-07						
IS-24-88-08						
IS-24-88-09						
IS-24-88-10						
IS-24-88-11						
IS-24-88-12						
IS-24-88-13						
IS-24-88-14						
IS-24-88-15						
IS-24-88-16						
IS-24-88-17						
IS-24-88-18						
IS-24-88-19						
IS-24-88-20						
IS-24-88-21						
IS-24-88-22						
IS-24-88-23						
IS-24-88-24						
IS-24-88-25						
IS-24-88-26						
IS-24-88-27						
IS-24-88-28						
IS-24-88-29						
IS-24-88-30						
IS-24-88-31						
IS-24-88-32						
IS-24-88-33						
IS-24-88-34						
IS-24-88-35						
IS-24-88-36						
IS-24-88-37						
IS-24-88-38						
IS-24-88-39						
IS-24-88-40						
IS-24-88-41						
IS-24-88-42						
IS-24-88-43						
IS-24-88-44						
IS-24-88-45						
IS-24-88-46						
IS-24-88-47						
IS-24-88-48						
IS-24-88-49						
IS-24-88-50						
IS-24-88-51						
IS-24-88-52						
IS-24-88-53						
IS-24-88-54						
IS-24-88-55						
IS-24-88-56						
IS-24-88-57						
IS-24-88-58						
IS-24-88-59						
IS-24-88-60						
IS-24-88-61						
IS-24-88-62						
IS-24-88-63						
IS-24-88-64						
IS-24-88-65						
IS-24-88-66						
IS-24-88-67						
IS-24-88-68						
IS-24-88-69						
IS-24-88-70						
IS-24-88-71						
IS-24-88-72						
IS-24-88-73						
IS-24-88-74						
IS-24-88-75						
IS-24-88-76						
IS-24-88-77						
IS-24-88-78						
IS-24-88-79						
IS-24-88-80						
IS-24-88-81						
IS-24-88-82						
IS-24-88-83						
IS-24-88-84						
IS-24-88-85						
IS-24-88-86						
IS-24-88-87						
IS-24-88-88						
IS-24-88-89						
IS-24-88-90						
IS-24-88-91						
IS-24-88-92						
IS-24-88-93						
IS-24-88-94						
IS-24-88-95						
IS-24-88-96						
IS-24-88-97						
IS-24-88-98						
IS-24-88-99						
IS-24-88-100						

第7.4.4.55図 (1) D-1 トレンチ ③層テフラの分析結果 (その1)

### 3. 審査会合におけるコメントの回答(コメント No.1202-23)

当初申請書に記載していた③層に係るテフラ分析結果(2/4)



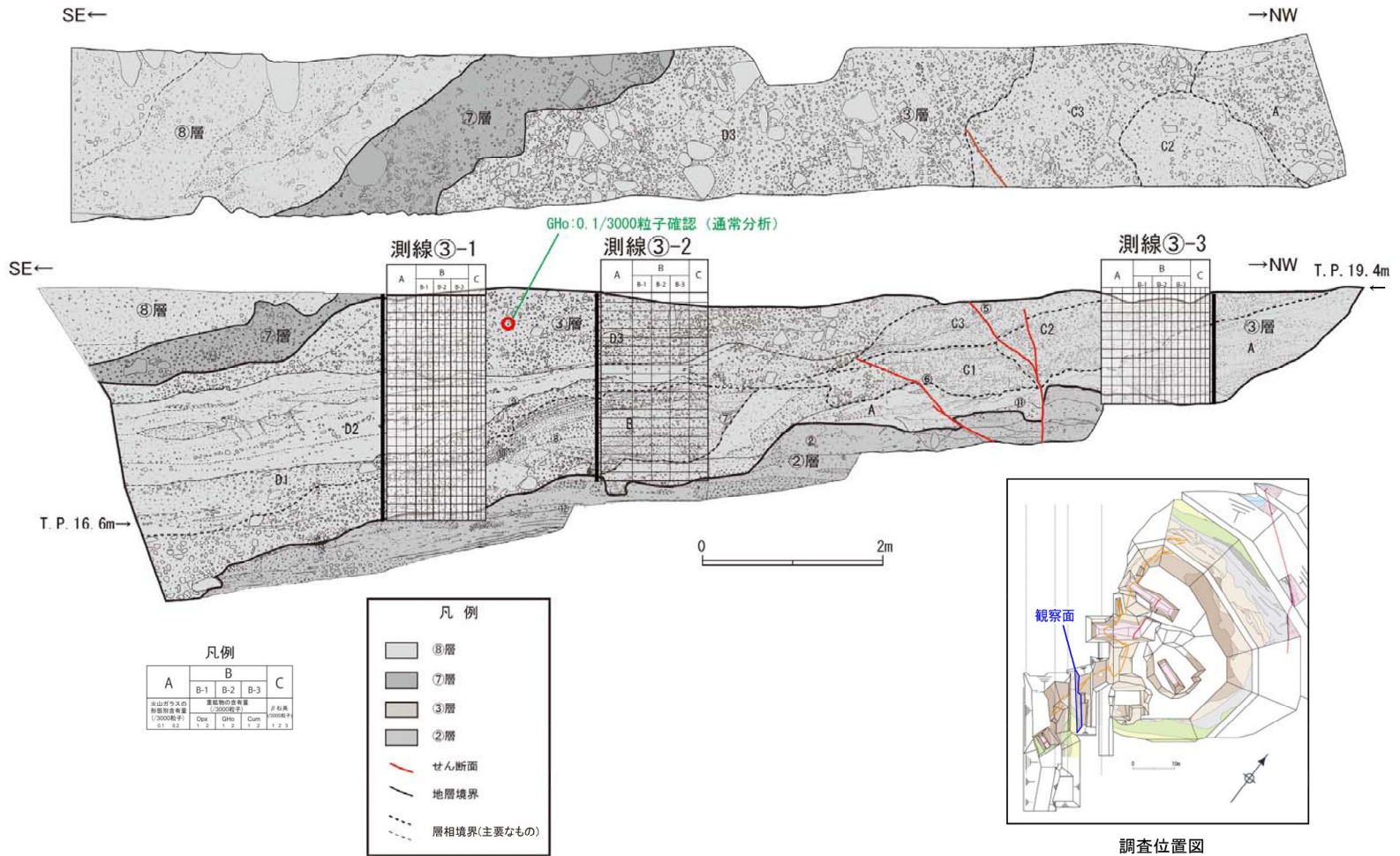
第7.4.4.55図(2) D-1トレンチ ③層テフラの分析結果(その2)

6-7-4-820



### 3. 審査会合におけるコメントの回答(コメント No.1202-23)

当初申請書に記載していた③層に係るテフラ分析結果(3/4)



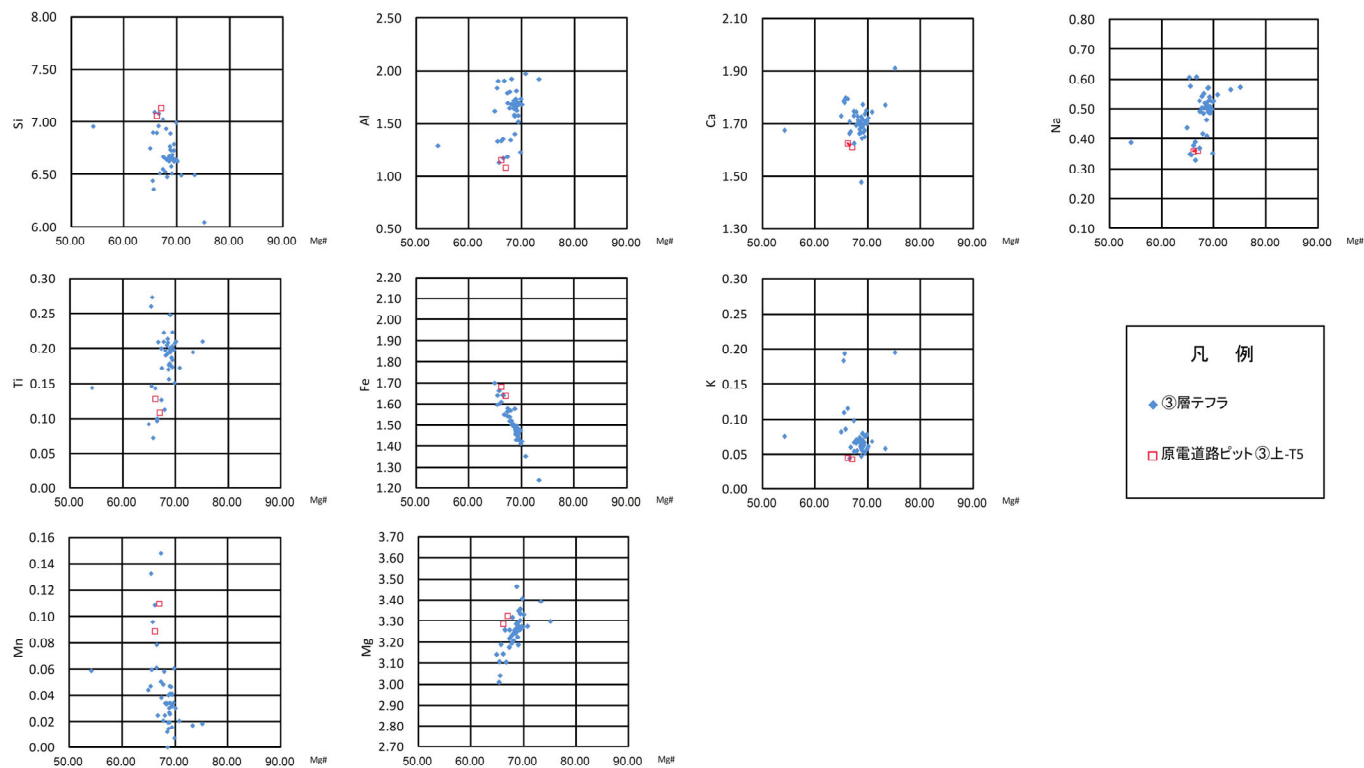
第7.4.4.81図 (1) D-1 トレンチ テフラ分析結果(原電道路ピット) (その1)

6-7-4-868

### 3. 審査会合におけるコメントの回答(コメント No.1202-23)

当初申請書に記載していた③層に係るテフラ分析結果(4/4)

普通角閃石



第7.4.4.81図(2) D-1トレンチ テフラ分析結果(原電道路ピット)(その2)

6-7-4-869



## 4. 参考文献

- 活断層研究会編(1991):新編 日本の活断層 分布図と資料,東京大学出版会
- 岡田篤正・東郷正美編(2000):近畿の活断層,東京大学出版会
- 今泉俊文・宮内崇裕・堤浩之・中田高編(2018):活断層詳細デジタルマップ[新編],東京大学出版会
- 北川隆司(1999):花崗岩のマサ化のメカニズムと斜面崩壊,粘土科学, Vol. 39, No. 1, p. 37-p. 44
- 井上大榮・宮腰勝義・上田圭一・宮脇明子・松浦一樹(2002):2000年鳥取県西部地震震源域の活断層調査,地震第2輯,Vol.54,p.557-p.573
- 宮下由香里・宮脇昌弘・北尾秀夫・岡崎和彦(2011):山口県岩国市下長野における岩国断層帯のトレンチ調査-断層岩試料の採取-,活断層・古地震研究報告, No. 11, p. 227-p. 247
- 日本応用地質学会中国四国支部(2019):応用地質Q&A中国四国版, 1.土木地質19編 土-5 熱水変質の産状と土木地質上の問題点,日本応用地質学会中国四国支部
- 中村康夫(2008):地質現象とダム,財団法人ダム技術センター, p. i -p. iv, p. 6-p. 7, p. 12-p. 13, p. 208-p. 209
- 一般財団法人日本建設情報総合センター(1999):ボーリング柱状図作成要領(案)解説書(改訂版),一般財団法人日本建設情報総合センター
- 井上厚行(2003):熱水変質作用,資源環境地質学-地球史と環境汚染を読む-, p. 195-p. 202
- 日本地質学会編(2009):近畿地方,日本地方地質誌5,朝倉書店
- 栗本史雄・内藤一樹・杉山雄一・中江訓(1999):敦賀地域の地質,地域地質研究報告(5万分の1地質図幅),地質調査所
- 竹内章(2010):北陸および信越地域における後期新生代の地質構造発達史,地質学雑誌, Vol. 116, No. 11, p. 624-p. 635
- 狩野謙一,村田明広(1998):構造地質学,朝倉書店
- 高木秀雄・小林健太(1996):断層ガウジとマイロナイトの複合面構造-その比較組織学,地質学雑誌, Vol. 102, No. 3, p. 170-p. 179
- 林愛明(2000):活断層のトレンチ・野外調査における断層破砕帯の組織構造の解析と適用について,応用地質, Vol. 41, No. 3, p. 135-p. 140
- 中島隆・高木秀雄・石井和彦・竹下徹(2004):フィールドジオロジー-7 変成・変形作用,共立出版
- 木村敏雄(1981):断層,とくに断層破砕帯の見方,考え方,応用地質, Vol. 22, No. 1
- 相山光太郎・田中姿郎・佐々木俊法(2017):断層破砕帯の詳細構造解析に基づく断層の活動性の検討:山田断層の例,応用地質, Vol. 58, No. 1, p. 2-p. 18
- C. W. Passchier and R. A. J. Trouw(2005):Microtectonics Second Edition, p. 26-p. 37
- G. Manatschal(1999):Fluid and reaction-assisted low-angle normal faulting: evidence from rift-related brittle fault rocks in the Alps (Err Nappe, eastern Switzerland), Journal of Structural Geology 21, p. 777-p. 793
- 相山光太郎・金折裕司(2019):山口-出雲地震帯西部に沿って新たに発見された活断層系,地質学雑誌, Vol. 125, No. 7, p. 555-p. 570

- 河田弘・小島俊郎(1979):生態学研究法講座30 環境測定法IV-森林土壌-(新訂版), 共立出版
- Yuji Maejima, Shizuo Nagatsuka and Teruo Higashi (2002): Application of the Crystallinity Ratio of Free Iron Oxides for Dating Soils Developed on the Raised Coral Reef Terraces of Kikai and Minami-Daito Islands, Southwest Japan, 第四紀研究, 41(6), p. 485-p. 493
- 山家富美子・八木久義(1983):越後平野周辺丘陵地帯の主要な森林土壌の特性と生成(第1報)―一般化学性および遊離酸化鉄―, 林試研報, Bull. For. & For. Prod. Res. Inst, No. 324, p. 125-p. 139
- 永塚鎮男(1975):西南日本の黄褐色森林土および赤色土の生成と分類に関する研究, 農業技術研究所報告. B, 土壌肥料, p. 133-p. 257, 農林省農業技術研究所
- KAZUMI ITO, TORU TAMURA and SUMIKO TSUKAMOTO (2017): POST-IR IRSL DATING OF K-FELDSPAR FROM LAST INTERGLACIAL MARINE TERRACE DEPOSITS ON THE KAMIKITA COASTAL PLAIN, NORTHEASTERN JAPAN, GEOCHRONOMETRIA 44, p. 352-p. 365
- KAZUMI ITO, TORU TAMURA and SUMIKO TSUKAMOTO (2018): POST-IR IRSL DATING OF K-FELDSPAR FROM LAST INTERGLACIAL MARINE TERRACE DEPOSITS ON THE KAMIKITA COASTAL PLAIN, NORTHEASTERN JAPAN, GEOCHRONOMETRIA 44, p. 352-p. 365
- 林崎涼(2022):最終間氷期の段丘堆積物のOSL年代測定―福島県塚原海岸で採取した試料での測定例―, 電力中央研究所
- JAN-PIETER BUYLAERT, MAYANK JAIN, ANDREW S. MURRAY, KRISTINA J. THOMSEN・CHRISTINE THIEL・REZA SOHBATI(2012): A robust feldspar luminescence dating method for Middle and Late Pleistocene sediments, BOREAS, Vol. 41, p. 435-p. 451, John Wiley & Sons Ltd
- 上田圭一・谷和夫(1999):基盤の断層変位に伴う第四紀層及び地表の変形状況の検討(その2)―正断層, 逆断層模型実験―, 電力中央研究所
- 吉川周作(1976):大阪層群の火山灰層について, 地質学雑誌, Vol. 82, No. 8, p. 497-p. 515, 日本地質学会
- 古澤明・安江健一・中村千怜・梅田浩司(2013):根ノ上高原に分布する土岐砂礫層のテフラ層序―石英中のガラス包有物の主成分化学組成を用いた広域テフラの対比―, 応用地質, Vol. 54, No. 1, p. 25-p. 38, 日本応用地質学会
- 日本第四紀学会編(1993):日本第四紀試料分析法, 東京大学出版会
- A.G. Wintle, A.S. Murray: A review of quartz optically stimulated luminescence characteristics and their relevance in single-aliquot regeneration dating protocols, Radiation Measurements 41 (2006) 369 - 391
- A.S. Murray, E.D. Schmidt, T. Stevens, J.-P. Buylaert, S.B. Marković, S. Tsukamoto, M. Frechen: Dating Middle Pleistocene loess from Stari Slankamen (Vojvodina, Serbia) - Limitations imposed by the saturation behaviour of an elevated temperature IRSL signal, Catena 117 (2014) 34-42
- Christine Thiel, Jan-Pieter Buylaert, Andrew Murray, Birgit Terhorst, Ingo Hofer, Sumiko Tsukamoto, Manfred Frechen: Luminescence dating of the Stratzing loess profile (Austria) - Testing the potential of an elevated temperature post-IR IRSL protocol, Quaternary International 234 (2011) 23-31